## 吡唑亚胺镍配合物的合成、表征及催化 1,3-丁二烯聚合

刘 恒 $^{6}$  杨 凤 $^{a*}$  胡雁鸣 $^{6}$  张学全 $^{6*}$ ("沈阳化工大学材料科学与工程学院 沈阳 110142;

<sup>b</sup>中国科学院长春应用化学研究所,中国科学院合成橡胶重点实验室 长春 130022)

摘 要 合成了一系列吡唑亚胺二齿 Ni(II)配合物 $(4a \sim 4e)$ ,并通过红外光谱、元素分析及单晶衍射等对配 合物进行了表征。配合物 4b 属于单斜晶系,以 Ni 原子为中心形成扭曲的三角双锥构型。该系列配合物在倍 半乙基氯化铝(EASC)的活化下,对1,3-丁二烯聚合表现出较高的顺-1,4选择性,得到了相对分子质量为 4500~9000、顺-1,4含量在91%左右的液体聚丁二烯。随着取代基空间位阻的增大,催化活性逐渐减低。进 一步详细研究了 Al/Ni 摩尔比和温度对聚合的影响。在 20~60 °C 范围内, 催化活性随着聚合温度的升高而 提高,聚合温度为80℃时,聚合物收率仅略有降低,表明该系列催化剂产生的活性中心具有良好的高温稳定 性。

关键词 吡唑亚胺;镍配合物;液体聚丁二烯;配位聚合

中图分类号:0632.1

文献标识码:A

文章编号:1000-0518(2015)08-0909-07

DOI:10.11944/j. issn. 1000-0518. 2015. 08. 140425

液体橡胶作为合成橡胶的一个重要品种,可用于制造密封胶和胶黏剂等产品[13]。其中二烯烃(丁 二烯、异戊二烯)类液体橡胶因其与天然橡胶和顺丁橡胶等有良好的相容性,可替代低分子油类作为这 些橡胶的增塑剂或软化剂,并可在硫化过程中参与交联反应。这种反应型增塑剂在制品中不会发生迁 移、挥发,也不会被溶剂抽出,从而使硫化胶获得良好的物理机械性能和化学稳定性。

目前,二烯类液体橡胶主要采用自由基和阴离子聚合技术制备,但聚合物的立构规整性不能得到很 好的控制[47]。采用配位聚合方法,可制备高顺-1,4结构含量的液体橡胶。本实验室曾采用吡啶双亚胺 酰氯 Ni( II )/倍半乙基氯化铝(EASC)<sup>[8]</sup>和 Nd(Oi-Pr)₃/AIR₃/RCl<sup>[9]</sup>催化体系制备了液体聚丁二烯,但 順-1,4 结构含量均偏低(<80%)。本文合成了一系列新型吡唑亚胺 Ni(Ⅱ)配合物,在倍半乙基氯化铝 (EASC)活化下催化丁二烯聚合,制备了相对分子质量为 4500~9000、顺-1,4 结构含量为 89.5%~ 91.1%的液体聚丁二烯,并考察了配体空间位阻、聚合时间和温度等条件对丁二烯聚合的影响。

#### 实验部分 1

#### 1.1 仪器和试剂

所用溶剂均经二苯甲酮/钠或氢化钙回流后蒸出使用。1,3-丁二烯由中国石油锦州分公司提供,用 前经串联的氢氧化钠和硅胶柱精制;2,6-二甲基苯胺(Aladdin),纯度 97%;二氯亚砜,纯度 99.5%;苯 甲酰氯,纯度 99.5% (Aladdin);三乙胺,纯度 99% (北京试剂厂); NiBr,·DME,纯度 97% (德国 Aldrich 公司);2,6-二异丙基苯胺,纯度90+%;吡唑,纯度98%;3,5-二甲基吡唑,纯度99%;3,5-二苯基吡唑, 纯度 98% (美国 Alfa 公司),直接使用; 倍半乙基铝(Al<sub>2</sub>Et<sub>3</sub>Cl<sub>3</sub>, EASC)购于 Akzo Nobel 公司,经甲苯稀 释至 1.0 mol/L 后使用。

BRUKE Vertex-70 型傅里叶红外光谱仪(德国布鲁克公司), KBr 涂膜; Unity-400 型核磁共振仪(美

<sup>2014-12-12</sup> 收稿,2015-01-19 修回,2015-04-02 接受

国家自然科学基金青年科学基金项目(51203092)资助项目

国 Varian 公司),以 CDCl₃或 DMSO 为溶剂,TMS 为内标;Waters 515 型凝胶渗透色谱仪(美国 Waters 公司),以四氢呋喃为流动相,流速为 1.0 mL/min,以窄分布聚苯乙烯标准样品为内标;Series II CHN/O 2400 型元素分析仪(美国 PERKIN ELMER 公司)。Bruker Smart Apex 型 X 射线单晶衍射仪(德国布鲁克公司),低温(-88.5 °C)或常温下测定。CCD 检测器,Mo $K\alpha$  射线为光源,波长为 0.071073 nm。晶系和晶胞参数等由 SMART 程序确定,用 SAINT 和 SADABS 对衍射数据进行初步处理,采用 SHELXTL-97 软件解出。

### 1.2 配体及配合物的合成

配体 3a~3e 按文献[10]方法制备,配体 3a~3e 和配合物 4a~4e 的合成路线见 Scheme 1。

Scheme 1 Synthesis of complexes 4a ~ 4e

配体 3a 的合成:室温下将 2,6-二甲基苯胺(3.2 g,26.4 mmol)加入到 50 mL 四氢呋喃溶剂中,加入三乙胺(4.2 mL,30 mmol),通过恒压漏斗滴加苯甲酰氯(2.8 mL,24 mmol),于室温下搅拌 12 h。反应结束后,过滤掉 $Et_3$ N·HCl,减压除去四氢呋喃,得到的固体经己烷洗两次后,过滤、干燥,得到白色固体 1a (5.2 g),产率 96.3%。化合物 1a (2 g,8.9 mmol)置于 50 mL 甲苯中,向其中滴加二氯亚砜(1 mL, 13.3 mmol),于 80 © 回流反应 4 h,减压除去未反应的二氯亚砜和甲苯,加入 50 mL 甲苯、三乙胺(1.5 mL,10.8 mmol)和吡唑(0.61 g,8.9 mmol),于室温反应 12 h。反应结束后,过滤除去 $Et_3$ N·HCl,减压除去溶剂,所得固体用正己烷重结晶,得到黄绿色晶体 3a (0.53 g),产率 21.6%。元素分析实测值( $C_{18}H_{17}N_3$ 计算值)/%:C 78.34(78.52),H 6.26(6.22),N 15.4(15.26)。  $^1$ H NMR(400 MHz,DMSO),3:8.68(s,1H,Pz—H); 7.74(s,1H,Pz—H); 7.36 ~ 6.78(m,8H,Ar—H), 1.99(s,6H,Ar—CH<sub>3</sub>)。

配体 **3**b 的合成方法与 **3**a 相同, 收率 55. 2%。元素分析实测值( $C_{20}H_{21}N_3$ 计算值)/%: C 79. 12 (79. 17), H 7. 01(6. 98), N 13. 87(13. 85)。 H NMR(400 MHz, CDCl<sub>3</sub>),  $\delta$ : 7. 29 ~ 7. 12(m,5H, Ar—H); 6. 91 ~ 6. 82(m,3H, Ar—H); 6. 05(s,1H, Pz—H); 2. 62(s,3H, Pz—CH<sub>3</sub>); 2. 22(s,3H, Pz—CH<sub>3</sub>); 2. 06(s,6H, Ar—CH<sub>3</sub>)。

配体 3c 的合成方法与 3a 相同, 收率 25.2%。元素分析实测值( $C_{22}H_{25}N_3$ 计算值)/%: C 79.68 (79.72), H 7.61(7.6), N 12.71(12.68)。 H NMR(400 MHz, DMSO),  $\delta$ : 8.61(s, 1H, Pz—H); 7.76(s, 1H, Pz—H); 7.64 ~ 6.98(m, 8H, Ar—H); 6.63(s, 1H, Pz—H); 2.84(s, 2H, i-Pr—H); 1.06 ~ 0.89(d, 12H, i-Pr—CH<sub>3</sub>)。

配体 3d 的合成方法与 3a 相同,收率 60.1%。元素分析实测值( $C_{24}H_{29}N_3$ 计算值)/%: C 80.11 (80.18),H 8.08(8.13),N 11.81(11.69)。 H NMR(400 MHz,DMSO), $\delta$ :7.28 ~ 6.99(m,8H,Ar—H); 6.18(s,1H,Pz—H); 3.24(s,3H,Pz—CH<sub>3</sub>); 2.89(m,2H,*i*-Pr—H); 2.09(s,3H,Pz—CH<sub>3</sub>); 1.07 ~ 0.89(d,12H,*i*-Pr—CH<sub>3</sub>)。

2.  $73 \text{ (m, 2H, } i\text{-Pr}\text{--H)}; 1.23 \sim 0.73 \text{ (m, 12H, } i\text{-Pr}\text{--CH}_3)$ 

配合物 4a 的合成:参照文献[8]方法,在  $N_2$ 气保护下,向装有搅拌子的圆底烧瓶中依次加入配体 3a (0.2 g,0.73 mmol)、 $NiBr_2 \cdot DME$  (0.224 g,0.73 mmol)和 THF (3 mL),搅拌 4h,减压抽去部分溶剂,加入大量乙醚后析出沉淀,过滤得到浅绿色粉末,经真空干燥处理,产率 82%。元素分析实测值 ( $C_{18}H_{17}N_3Br_2Ni$ 计算值)/%: C 43.51 (43.78),H 3.36 (3.47),1.56 1.53 1.53 1.53 1.53 1.53 1.53 1.53 1.53 1.53 1.53 1.53 1.53 1.54 1.55 1

配合物 **4**b 的合成方法与 **4**a 类似。由配体 **3**b 与 NiBr<sub>2</sub>·DME 在 THF 中反应得到黄棕色粉末,收率 77.9%。元素分析实测值( $C_{20}H_{21}N_3Br_2$ Ni计算值)/% : C 45.89(46.03),H 3.92(4.06),N 7.88(8.05)。 FTIR(KBr), $\sigma$ /cm<sup>-1</sup>:3110,3045,3002,2924,1615,1591,1567,1494,1443,1386,1365,1214,1176,1160,1123,1092,1059,992,921,846,832,797,780,746,703。

配合物 4c 的合成方法与 4a 类似。由配体 3c 与NiBr<sub>2</sub>·DME在 THF 中反应得到淡绿色粉末,收率 71.2%。元素分析实测值( $C_{22}H_{25}N_3Br_2$ Ni计算值)/% : C 47.93(48.05),H 4.49(4.58),N 7.51(7.64)。 FTIR(KBr), $\sigma$ /cm<sup>-1</sup>:2974,2945,2865,1638,1534,1492,1458,1425,1406,1381,1357,1328,1210,1158,1094,1059,1002,945,915,773,706。

配合物 4d 的合成方法与 4a 类似。由配体 3d 与NiBr<sub>2</sub>·DME在 THF 中反应得到紫红色粉末,收率 80.1%。元素分析实测值( $C_{24}H_{29}N_3Br_2$ Ni计算值)/%:C 49.77(49.87),H 5.9(5.06),N 7.11(7.27)。 FTIR(KBr), $\sigma$ /cm<sup>-1</sup>:2965,2869,1612,1562,1489,1458,1447,1383,1362,1335,1319,1205,1178,1155,1131,1099,1066,992,933,819,797,771,749,717。

配合物 4e 的合成方法与 4a 类似。由配体 3e 与NiBr<sub>2</sub>·DME在 THF 中反应得到浅绿色粉末,收率 65. 8%。元素分析实测值( $C_{34}H_{33}N_3Br_2Ni$ 计算值)/%:C 58. 93(58. 16),H 4. 63(4. 74),N 5. 89(5. 98)。 FTIR(KBr), $\sigma$ /cm<sup>-1</sup>:2971,2865,1625,1560,1508,1486,1460,1403,1349,1327,1307,1281,1173,1154,1080,1026,941,921,804,757,727,693。

#### 1.3 聚合反应

聚合反应在经真空烘烤并充氮气处理的 30 mL 安瓿瓶中进行。按照催化剂、1,3-丁二烯/甲苯溶液、EASC/甲苯溶液的顺序依次加入到安瓿瓶中,在设定温度的水浴中聚合至给定时间后,用含有 1% 2,6-二叔丁基-4-甲基苯酚及少量盐酸的乙醇溶液终止聚合反应,将其倒入约 50 mL 乙醇中搅拌,静置过夜,倒出上层乙醇溶液,得到白色油状物置于真空干燥箱中干燥至恒重。

FTIR 表征发现,配体 3b 中 C=N 基团伸缩振动吸收峰出现在 1661 ~ 1651 cm<sup>-1</sup>(图 1);配合物 4b

## 2 结果与讨论

#### 2.1 配合物的红外表征

的 C—N 基团伸缩振动吸收峰向低频方向移动,出现在 1636~1614 cm<sup>-1</sup>处;表明 C—N 基团的 N 原子与 Ni 发生了配位。

#### 2.2 配合物的晶体结构

配合物的结构对催化剂的活性及选择性有着深远的影响,为此对其结构进行精确表征,其中配合物 4b 得到了单晶。配合物 4b 的单晶由乙醚向其 DMF 饱和溶液缓慢扩散获得,晶体结构与选取的部分键长和键角数据如图 2 所示。配合物 4b 属于单斜晶系 P2<sub>1</sub>/c 空间群,具有近似 Cs 对称性,呈扭曲三角双锥构型,以 N3、Br1、Br2 构成赤道平面,O1 和 N1 位于轴向位,处于三角双锥 2 个顶点位置。Ni 与

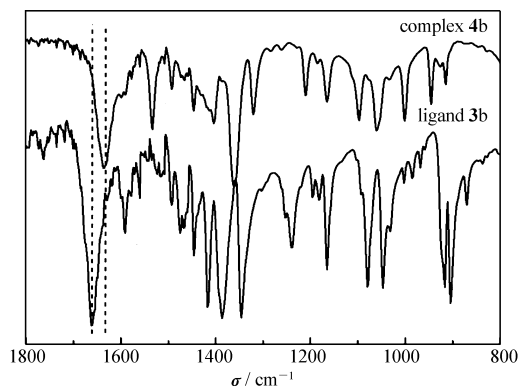


图 1 配合物 4b 与配体 3b 的红外谱图

Fig. 1  $\,$  IR spectra of of complex 4b and ligand 3b

N3、N1、O 的配位键长分别为0.2062(2)、0.2060(3)和0.2038(2)nm; N1—Ni—N3、Ni—N1—C15和Ni—N3—C2夹角分别为76.88°、121.28°和139.3°。

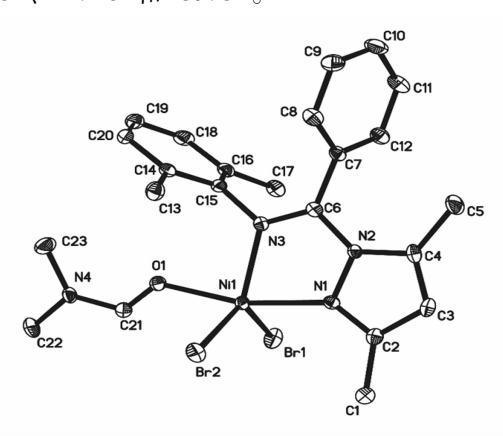


图 2 配合物 4b 的晶体结构图

Fig. 2 ORTEP view of complex 4b, drawn at 30% of probability; hydrogen atoms are omitted for clarity Selected bond distances(nm): Ni1—N1 0.2062(2), Ni1—N(3) 0.2060(3), Ni1—Br1 0.24401(5), Ni1—Br2 0.24533(5), Ni1—O1 0.2038(2). Selected bond angle (): N1—Ni1—N3 76.88(10), N1—Ni1—Br1 94.20(7), N1—Ni1—Br2 93.53(7), N3—Ni1—Br1 114.21(7), N3—Ni1—Br2 118.55(7), N3—Ni1—O1 88.33(9), N1—Ni1—O1 165.03(10), Ni1—N3—C6 118.0(2), Ni1—N1—N2 113.55(18), C15—N3—Ni1 121.28(19), C2—N1—Ni1 139.3(2), N3—C6—N2 115.6(3)

#### 2.3 丁二烯聚合反应

以 EASC 为助催化剂,考察了吡唑亚胺 Ni(II)配合物催化丁二烯的聚合行为。从表 1 可见,中心金属的配位环境对催化活性影响较大。随着配体吡唑上取代基的改变(H,4c;Me,4d;Ph,4e),聚合物收率由 66.8%降低至 19.6%,这是由于空间位阻所致。另一方面,配体空间位阻的不同基本未影响所得聚合物的立构规整性,其顺-1,4结构含量均为 90% 左右。

表 1 不同取代基的镍配合物/EASC 催化丁二烯聚合结果 Table 1 1,3-Butadiene polymerization with 4a~4e/EASC"

D	Cl	Yield/%	$M_{\rm n} \times 10^{-3}$ b	$M_{\rm w}/M_{\rm n}^{\ \ b}$		Microstructure <sup>c</sup> /%	
Run	Complex	1 1610/ %	$M_{\rm n} \times 10$	$M_{\rm w}/M_{\rm n}$	Cis-1,4	Trans-1,4	1,2
1	<b>4</b> a	73.6	24.0	4.0	89.9	7.1	3.0
2	<b>4</b> b	65.3	8.4	2.3	91.5	5.9	2.6
3	<b>4</b> c	66.8	13.0	4.0	88.7	8.1	3.2
4	<b>4</b> d	57.7	8.1	3.0	90.6	6.8	2.6
5	<b>4</b> e	19.6	17.5	2.1	91.0	5.2	3.8

a. Polymerization conditions: in toluene at 20 °C for 4 h, [Bd]/[Ni] = 2000, [Al]/[Ni] = 50, [Bd] = 1.85 mol/L; b. determined by GPC eluted with THF(polystyrenes as standards); c. determined by IR and NMR.

选用配合物 4d 为主催化剂,研究了反应温度和时间对聚合的影响。由表 2 可以看出,随着聚合温度的升高,聚合物收率逐渐提高,60 ℃时达到最大值 83.7%。进一步升高温度至 80 ℃,聚合物收率略有降低(79.7%)。通常后过渡金属催化剂温度耐受性差,如吡啶双亚胺铁/Al(*i*Bu)₃催化剂进行丁二烯聚合,当反应温度由 20 ℃提高至 60 ℃,聚合物收率由 99%降低至 40% [11]。这表明该催化体系具有良好的高温稳定性。同时,所得聚合物的顺-1,4 含量下降。在 20 ℃时,所得聚合物的顺-1,4 含量为90.6%;80 ℃时顺-1,4 含量降至 64.8%。这是由于随着温度升高,对式烯丙基(anti)向热力学更稳定的同式烯丙基(syn)转变所致。随着温度的升高,聚合物相对分子质量逐渐降低,且分布逐渐变宽,这是由于高温下链转移反应加剧导致的。随着聚合时间的延长,聚合物的顺-1,4 含量略有降低。这也是由于丁二烯聚合过程中 anti-syn 构型转换引起的,在较高单体浓度下易形成 anti-构型;随反应进行,丁二烯浓度减小使得丁二烯聚合速率下降,因此 anti-构型有充分时间向 syn-构型转换,从而导致反-1,4 含量增

加[12-13]。

表 2	聚合温度和时间对	¦ 4d∕EASC 催	化丁二烯聚合的影响
-----	----------	-------------	-----------

Table 2 Effects of temperature and time on 1,3-butadiene polymerization with 4d/EAS	Table 2	Effects of temperature	and time on 1	,3-butadiene	polymerization	with 4d/EASO
---	---------	------------------------	---------------	--------------	----------------	--------------

Run Temperature/°C		Time/h Yield	Yield/%	$M_{\rm n} \times 10^{-3}$ b	$M_{\rm w}/M_{\rm n}^{\ b}$	Microstructure <sup>c</sup> /%		
Run	Temperature/ C	1 Ime/ II	rieid/ 76	$M_{\rm n} \times 10$	$M_{\rm w}/M_{\rm n}$	Cis-1,4	Trans-1,4	1,2
6	0	4	51.1	11.7	2.6	90.2	6.3	4.5
7	20	4	57.7	8.1	3.0	90.6	6.8	2.6
8	20	15	74.8	5.1	3.5	88.0	9.7	2.3
9	20	24	77.9	4.5	3.5	85.5	12.5	2.0
10	40	4	81.0	7.1	3.3	82.4	15.4	2.2
11	60	4	83.7	4.0	3.5	77.5	20.6	1.9
12	80	4	79.7	2.9	3.0	64.8	33.4	1.8

a. Polymerization conditions: in toluene, [Bd]/[Ni] = 2000, [Al]/[Ni] = 50, [Bd] = 1.85 mol/L; b. determined by GPC eluted with THF(polystyrenes as standards); c. determined by IR and NMR.

由表 3 可见,随着 Al/Ni 摩尔比的增加,聚合物收率逐渐提高,这是由于所生成活性中心数目增加所致。同时聚合物相对分子质量逐渐下降,且分布变宽,这可能是由于高分子链向 EASC 链转移造成的。EASC 用量基本未影响催化剂的选择性,所得聚合物的顺-1,4 含量均在 90% 左右。

表 3 Al/Ni 摩尔比对 4d/EASC 催化丁二烯聚合的影响

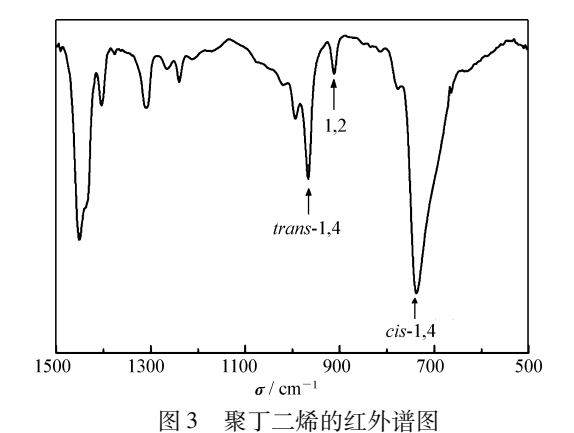
Table 3 Effect of Al/Ni molar ratio on 1,3-butadiene polymerization with 4d/EASC<sup>a</sup>

Run	n(Al)/n(Ni)	Yield/%	$M_{\rm n} \times 10^{-3}  b$	$M_{\rm w}/M_{\rm n}^{\ b}$		Microstructure <sup>c</sup> /%	
Kun	n(AI)/n(NI)	rieid/%	$M_{\rm n} \times 10$	$M_{\rm w}/M_{\rm n}$	Cis-1,4	Trans-1,4	1,2
13	10	50.1	9.0	2.6	91.1	6.0	2.9
14	20	56.3	8.2	2.9	90.8	6.5	2.7
15	50	57.7	8.1	3.0	90.6	6.8	2.6
16	100	62.4	6.1	3.1	90.2	7.0	2.8
17	200	75.0	5.6	3.4	89.5	8.0	2.5

a. Polymerization conditions; in toluene at 20 ℃ for 4 h, [Bd]/[Ni] = 2000, [Bd] = 1.85 mol/L; b. determined by GPC eluted with THF (polystyrenes as standards); c. determined by IR and NMR.

采用 FTIR 对所得聚丁二烯进行了结构表征。图 3 为所得聚丁二烯(Run 8,表 2)的 FTIR 谱图,其中 738、911 和 967 cm  $^{-1}$ 分别为顺-1,4、1,2 和反-1,4 结构的特征吸收峰。根据各吸收峰强度计算得出聚合物的顺-1,4、1,2 和反-1,4 结构含量分别为 88%、2.3% 和 9.7%。为了验证 FTIR 的结果,进一步以  $^{1}$ H NMR对聚合物进行表征(图 4)。 $\delta$  5.40 和  $\delta$  4.98 处分别为 1,4-和 1,2-结构的共振峰,根据各特征峰积分面积比计算得出聚合物的 1,4-和 1,2-结构含量分别为 97.2% 和 2.7%。

由于<sup>1</sup>H NMR 谱图不能区分聚合物中的顺-1,4 和反-1,4 结构,因此进一步通过<sup>13</sup>C NMR 对该聚合



anastrum of polyhytadiona (Run & Table 2)

Fig. 3 IR spectrum of polybutadiene (Run 8, Table 2)

物进行表征。图 5 中,顺-1,4,反-1,4 结构的特征峰分别位于  $\delta$  129. 6 和 130. 1 处,双键相邻的— $CH_2$ 的 特征峰分别位于  $\delta$  27. 45 和 32. 74 处;1,2-PB 中—CH— 和  $=CH_2$  的特征峰分别在  $\delta$  142. 5 和 114. 2 处。计算得出所得聚丁二烯顺-1,4、反-1,4 和 1,2 结构含量分别为 88. 3%、9. 0% 和 2. 7%,与 FTIR 和  $^1$ H NMR计算结果一致。

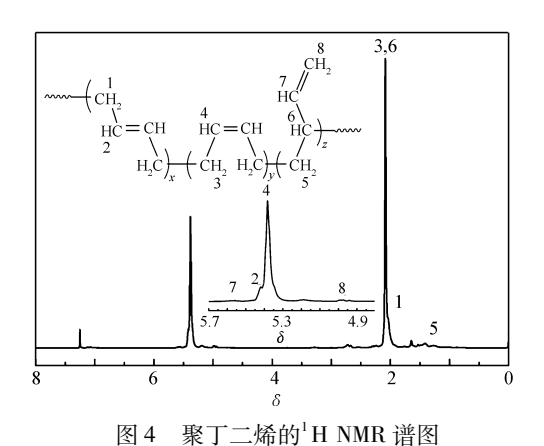
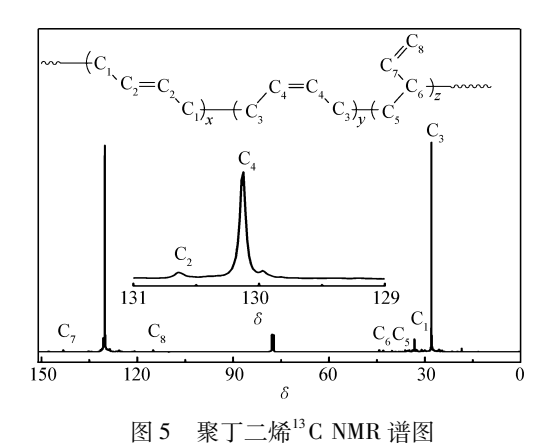


Fig. 4  $\,^{-1}\,H\,$  NMR spectrum of polybutadiene ( Run 8 , Table 2 )



5 <sup>13</sup> C NMR spectrum of polybutadiene (Run 8,

## 3 结 论

合成了一系列吡唑亚胺 Ni(Ⅱ) 配合物,并对其进行了表征。该系列配合物经 EASC 活化,可制备相对分子质量为 4500~9000、顺-1,4 含量为 89.5%~91.1% 的液体聚丁二烯。配体的空间位阻对配合物的催化活性有较大影响,随取代基空间位阻的增加,聚合物收率下降。随聚合温度的升高,聚合物收率增加,在聚合温度为 80 ℃时,聚合物收率仅略有降低,表明该催化体系具有良好的高温稳定性。

Table 2)

#### 参考文献

- [1] Barcia F L, Soares B G, Sampaio E. Adhesive Properties of Epoxy Resin Modified by End-Functionalized Liquid Polybutadiene [J]. J Appl Polym Sci., 2004, 93;2370-2378.
- [2] Barcia F L, Amaral T P, Soares B G. Synthesis and Properties of Epoxy Resin Modified with Epoxy-Terminated Liquid Polybutadiene[J]. *Polymer*, 2003, 14:5811-5819.
- [3] REN Wentan, ZHANG Yong, PENG Zonglin, et al. Characteristics of Liquid Rubber and It's Application in Rubber Industry [J]. China Rubber Sci Technol Market, 2006, 6:16-20 (in Chinese). 任文坛,张勇等,彭宗林,等. 液体橡胶的特性及其在橡胶工业中的应用[J]. 橡胶科技市场, 2006, 6:16-20.
- [4] LIANG Tao, WEI Xuling, ZHANG Huiyi, et al. Progress in Research and Development of Diene Liquid Rubber[J]. Polym Bull, 2012, (4):11-16(in Chinese). 梁滔,魏绪玲,张惠怡,等. 双烯类液体橡胶的研究进展[J]. 高分子通报, 2012, (4):11-16.
- [5] CHENG Qian, LIANG Jizhao. Progress in Research and Development of Polybutadiene Liquid Rubber[J]. Special Purpose Rubber Prod, 2013, 34:72-76 (in Chinese). 程情,梁基照. 聚丁二烯液体橡胶及其研究进展[J]. 特种橡胶制品, 2013, 34:72-76.
- [6] LIANG Tao, WANG Hongshan, GAO Yangguang, et al. Research Progress in Liquid Rubber[J]. China Synthetic Rubber Ind, 2010, 33:482-487 (in Chinese). 梁滔,王洪山,高阳光,等. 液体橡胶的研究进展[J]. 合成橡胶工业, 2010, 33:482-487.
- [7] Lotti L, Coiai S, Ciardelli F, et al. Thiol-Ene Radical Addition of L-Cysteine Derivatives to Low Molecular Weight Polybutadiene [J]. Macromol Chem Phys, 2009, 210:1471-1483.
- [8] LIU Heng, WANG Feng, ZHANG Xuequan, et al. Synthesis, Characterization of Bis (arylcarboximidoyl -chloride) pyridine Ni(Ⅱ) Complexes and Their Catalytic Behavior for the Synthesis of Liquid Polybutadiene [J]. Chem J Chinese Univ, 2014, 35:1336-1342 (in Chinese).
  刘恒、王凤、张学全、等、毗啶双亚胺酰氯 Ni(Ⅱ) 配合物的合成、表征及催化合成液体聚丁二烯[Ⅰ]、高等学校化
  - 刘恒,王凤,张学全,等. 吡啶双亚胺酰氯 Ni(Ⅱ) 配合物的合成、表征及催化合成液体聚丁二烯[J]. 高等学校化学学报,2014,35:1336-1342.
- [9] Wang F, Liu H, Zheng W J, et al. Fully-Reversible and Semi-Reversible Coordinative Chain Transfer Polymerizations of 1,3-Butadiene with Neodymium-Based Catalytic Systems [J]. Polymer, 2013, 54:6716-6724.
- [10] Wang Y Y, Lin S A, Zhu F M, et al. Nickel(II) Complexes Bearing Pyrazolylimine Ligands: Synthesis, Characterization, and Catalytic Properties for Ethylene Oligomerization [J]. Inorg Chim Acta, 2009, 362:166-172.
- [11] Gong D R, Wang F, Wang B L, et al. Highly Trans-1, 4 Selective Polymerization of 1,3-Butadiene Initiated by Iron( III)

- Bis (imino) pyridyl Complexes [J]. *Inorg Chim Acta*, 2011, 373:47-53.
- [12] Liu H, Jia X Y, Wang F, et al. Synthesis of Bis(N-arylcarboximidoyl-chloride) pyridine Cobalt( II ) Complexes and Their Catalytic Behavior for 1,3-Butadiene Polymerization [J]. Dalton Trans, 2013, 42;13723-13732.
- [13] Porri L, Giarrusso A, Ricci G. Recent Views on the Mechanism of Diolefin Polymerization with Transition Metal Initiator Systems [J]. *Prog Polym Sci*, 1991, **16**:405-441.

# Pyrazolylimine Ni(II) Complexes: Synthesis, Characterization, and Catalytic Behaviors for 1,3-Butadiene Polymerization

HAN Chao<sup>a</sup>, LIU Heng<sup>b</sup>, YANG Feng<sup>a\*</sup>, HU Yanming<sup>b</sup>, ZHANG Xuequan<sup>b\*</sup>

(\* School of Materials Science and Engineering, Shenyang University of

Chemical Technology, Shenyang 110142, China;

\* Key Laboratory of Synthetic Rubber, Changchun Institute of Applied Chemistry,

Chinese Academy of Sciences, Changchun 130022, China)

Abstract A series of NN-bidentate nickel (  $\Pi$  ) complexes bearing pyrazolylimine ligands ( $4a \sim 4e$ ) was synthesized and characterized by FTIR and elemental analysis. Determined by X-ray single crystal diffraction, complex 4b adopted distorted trigonal bipyramidal geometry around the central metal. Activated by ethylaluminum sesquichloride (EASC), all complexes exhibited high cis-1,4 selectivity towards 1,3-butadiene polymerization to afford liquid polybutadienes (PB) with relative molecular mass of  $4500 \sim 9000$  and 91% cis-1,4 content. The catalytic activity of the complex decreased as the hindrance of the substituent on the ligand increased. The effects of Al/Ni molar ratio and polymerization temperature on the polymerization were further investigated in details. The catalytic activity increased with the increase of polymerization temperature from 20 °C to 60 °C, and the polymer yield only slightly decreased even at a high temperature of 80 °C, indicating high thermal stability of the active species generated by the present catalytic system.

Keywords pyrazolylimine; nickle complex; liquid polybutadiene; coordination polymerization

Received 2014-12-12; Revised 2015-01-19; Accepted 2015-04-02

Supported by National Natural Science Foundation of China (No. 51203092)

Corresponding author; YANG Feng, associate professor; Tel; 024-89388092; Fax: 024-89388092; E-mail; yf18231@163.com; Research interests; olefin controllable polymerization

Co-corresponding author; ZHANG Xuequan, professor; Tel; 0431-85262303; Fax; 0431-85262303; E-mail; xqzhang@ciac.ac.cn; Research interests; olefin controllable polymerization